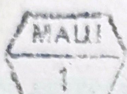
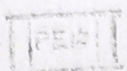


04



1



6540

108-114

УДК 621.317.321

О.В.Гришков, А.Н.Морозова, Ю.И.Ро

**ИЗМЕРИТЕЛЬНЫЙ УСИЛИТЕЛЬ ПОСТОЯННОГО ТОКА
МИКРОВОЛЬТОВОГО УРОВНЯ НА ОСНОВЕ ЭЛЕМЕНТОВ
ОПТОЭЛЕКТРОНИКИ**

При проектировании ИМС и ИВК, использующих термопары и высокочувствительные тензодатчики, стоит задача разработки усилителей постоянного тока (УПТ) микровольтового уровня, обладающих высокими метрологическими и эксплуатационными параметрами.

Выпускаемые в настоящее время фотогальванометрические УПТ микровольтового уровня (например, ФГГ?) имеют низкую надежность, узкий диапазон рабочих температур, не могут работать в условиях вибрации и при большом значении сопротивления источника сигнала.

УПТ на основе вибропреобразователей обладают высокой чувствительностью, но имеют ряд недостатков: низкую надежность, малый срок службы, необходимость периодической подстройки. УПТ с преобразованием сигнала по схеме модулятор-демодулятор (МДМ), выполненные с модулятором на полевых МОП-транзисторах, нашли широкое применение в измерительных преобразователях для усиления сигналов милливольтового уровня. Однако они обладают недостаточной чувствительностью и стабильностью смещения нулевого уровня, что становится особенно заметным при сопротивлении источника сигнала более 1 кОм. Это обусловлено наличием в цепи сигнала паразитного тока, который зависит от величины емкости между цепями управления и сигнала.* Типичная величина емкости для полевых МОП-транзисторов составляет $5 \cdot 10^{-12} \Phi$, что приводит к возник-

* Горохов В.П., Гришков О.В., Завадский Н.Н., Каво-
кин В.П., Морозова А.Н., Перчуков В.И. Исследование фоторе-
зисторных модуляторов для усилителей постоянного тока высо-
кой чувствительности. - Труды ВНИИЭП. Элементы, узлы, блоки
средств электрических измерений, 1976

Труды ВНИИЭП "Проектирование средств электроизмерительной
техники", 1979

новению составляющими порядка $10^{-9} \Phi$.

Таким образом, постоянного тока в диапазоне сигналов приемом аддитивной сопротивление от высокомощные эксплуатационные и этом должно быть температурного драйвера источника сигнала.

Имеются различные способы уровня, основанные на термостатировании смещения тока смещением и выходе усиления, также нестабильность смещения и под влиянием

Опыт отечественных исследований также проведенные вания схем модуляторов на чувствительного УПТ.

В статье приведены выполненного по способу оптической связью ве источника света в качестве фотоприемника CdHgSe, спектрально-руктивно оптрансistorов, размещенных на

Проведенные измерения в постоянном токе дали в диапазоне тока управления, что входной ток, выходной ток, драйвер нулевого уровня.

На рис. I приведена схема торезистора от тока

8-114

Борзова, Ю.И.Ро

КА
БТОВтермопары и
разработки
го уровня,
ационнымиметрические
от низкую
не могут ра-
ни сопротив-от высокой
ую надек-
еской под-
модулятор-
полевых
ерительных
того уровня-
льностью и
овится осо-
ла более
разитного
цепями уп-
ля полевых
ит к возник-Н., Каво-
ние фотопре-
тока высо-
лы, блоки

ительной

новению составляющей тока смещения цепи источника сигнала порядка 10^{-9} А.

Таким образом, актуальна задача создания усилителя постоянного тока высокой чувствительности, работающего в диапазоне сигналов микровольтового уровня, с низким значением аддитивной составляющей погрешности, способного работать от высокоомных источников сигнала, имеющего хорошие эксплуатационные параметры, малые габариты и массу. При этом должно быть обеспечено низкое значение временного и температурного дрейфа нулевого уровня при сопротивлении источника сигнала до 100 кОм.

Имеются различные способы уменьшения дрейфа нулевого уровня, основанные на подборе транзисторов, симметрировании и терmostатировании схемы модулятора, введении цепей компенсации тока смещения. Однако они трудно выполнимы при серийном выпуске усилителей из-за технологической сложности, а также нестабильности параметров полевых транзисторов во времени и под влиянием температуры.

Опыт отечественного и зарубежного приборостроения, а также проведенные теоретические и экспериментальные исследования схем модуляторов показали перспективность использования модуляторов на базе оптоэлектроники для создания высокочувствительного УПТ микровольтового уровня.

В статье приводятся результаты исследований модулятора, выполненного по последовательно-параллельной схеме с прямой оптической связью на двойном оптроне типа ОЭП-16. В качестве источника света использован светодиод из G_3A_5 , в качестве фотоприемника — фоторезистор на основе материала $CdHgSe$, спектрально согласованный со светодиодом. Конструктивно оптрон состоит из двух светодиодов и двух фоторезисторов, размещенных в металлическом корпусе.

Проведенные испытания оптронов на постоянном и переменном токе дали возможность рационально выбрать величину тока управления, частоту управляющих импульсов, определить входной ток, входное и выходное сопротивления модулятора, дрейф нулевого уровня.

На рис. I приведен график зависимости сопротивления фоторезистора от тока светодиода (управляющего тока). При

токе управления менее 10 мА имеет место сильная зависимость сопротивления фотодиода от тока управления. При токе 10–20 мА световое сопротивление фотодиода меняется незначительно, поэтому ток управления выбран равным 10 мА. При этом значении тока управления световое сопротивление оптрана составляет величину 1,5–3 кОм. Темновое сопротивление фотодиода (при отсутствии управляющего тока) превышает 10 МОм.

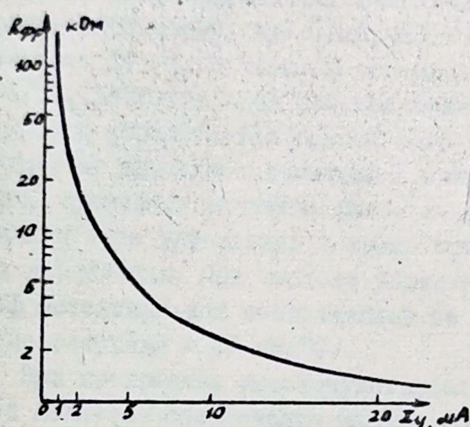


Рис. I. Зависимость сопротивления фотодиода от тока управления оптрана

Для оценки быстродействия оптранов определены величины времени нарастания τ_u и времени спада τ_{cn} выходного напряжения модулятора при установлении выходного напряжения на уровне 0,9 установленногося значения. При сопротивлении источника сигнала 100 кОм τ_u и τ_{cn} составляют 0,3 и 0,05 мс соответственно, а при сопротивлении источника сигнала 1 кОм $\tau_u \approx \tau_{cn} \approx 0,15$ мс. Ток управления незначительно влияет на быстродействие оптранов.

Для выбора оптимальной частоты управления оптранов исследована зависимость коэффициента передачи модулятора от частоты управления. При частоте управления 250–300 Гц коэффициент передачи модулятора близок к 0,5, входное сопротивление примерно 250 кОм, что дает возможность построить схему усилителя с высоким входным сопротивлением.

сильная зависимость
изменения. При токе
исторя меняется нез-
начительным, равным 10 мА. При
сопротивление оптре-
нного модулятора (точка) превышает

Конструкция оптрана обеспечивает сопротивление изоляции между входной и выходной цепями не менее 10^{10} Ом и величину проходной емкости не более $5 \cdot 10^{-14}$ Ф. Следует отметить, что проходная емкость оптрана определяется его конструкцией и поэтому достаточно стабильна, что, в свою очередь, обуславливает низкое значение токовой составляющей дрейфа оптранного модулятора.

Испытания модулятора, выполненного по последовательно-параллельной схеме, показали, что входной ток модулятора не превышает 10 нА, а токовая составляющая дрейфа не превышает 1 нА/ $^{\circ}\text{C}$. Потенциальная составляющая дрейфа смещения нулевого уровня определяется суммой фото- и термо-ЭДС оптранов, которая не превышает величины 1 мкВ. Как показали исследования, суммарная величина фото- и термо-ЭДС не зависит от величины тока управления и прямо пропорциональна частоте тока управления. При частоте управления 250 Гц временной дрейф потенциальной составляющей не превышает 100 нВ за 8 ч а температурный - 30 нВ/ $^{\circ}\text{C}$.

При построении высокочувствительных УПТ основной проблемой является обеспечение малого дрейфа смещения нулевого уровня, который не отличается от входного сигнала и вызывает аддитивную составляющую погрешности. Для получения высоких метрологических параметров, заданного входного сопротивления и необходимой стабильности характеристик усилителя обычно используется последовательная отрицательная обратная связь.

Применение блочно-функционального принципа построения усилителей дает возможность реализовать несколько модификаций УПТ на базе ограниченного числа однотипных функциональных блоков. На основе вышеизложенного разработана принципиальная схема усилителя, показанная на рис.2.

Усилитель состоит из модулятора, выполненного по последовательно-параллельной схеме на оптроне ОЭП-16, усилителя переменного тока (блок 1, блок 3), генератора управляемого напряжения (блок 2), демодулятора (блок 4) и выходного усилителя (блок 5). Усилитель переменного тока состоит из предусилителя, построенного на полевых транзисторах, и каскада на интегральной микросхеме МАА725. Режим работы предусматривает

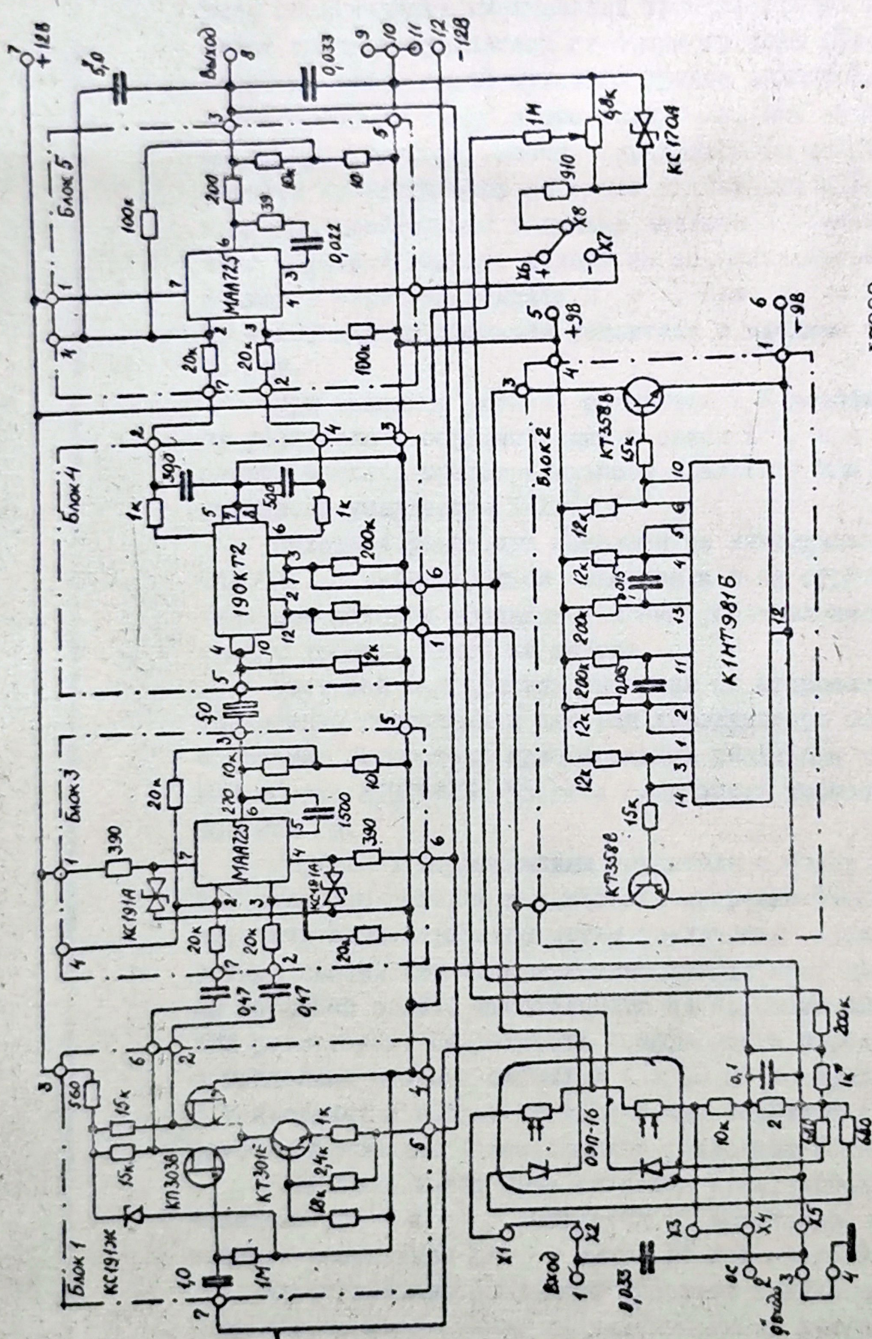


Рис. 2. Принципиальная схема усилителя Ф7200

теля обеспечивает передачи образом, чтобы приведенный коэффициент дрейфа нуля расчета коэффициента задается необходима обратной фазой. К_р = 100 для напряжения 10 мВ.

При выходе из линии усиления сопротивление передачи выходного усилителя

Выходной транзистор MAA725 с инвертором, значение которого определяет коэффициент и уровень усиления.

Мостовой усилитель управление оптимальным сопротивлением с помощью генератора на сборке КИНТ-9816 с частотой 250 Гц.

Переход к мостовому усилителю оптимального сопротивления передачи осуществляется с помощью обратной связи. Для обратной связи включены резисторы с пределами изменения. В усилителях с мостом используется с помо-

Усилитель тенциометре, ванного напряжения.

Конструкция четырехковых кон-

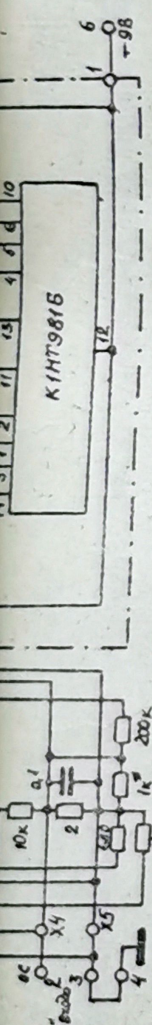


Рис.2. Принципиальная схема усилителя Ф7200

теля обеспечивает минимальный уровень шумов. Общий коэффициент передачи усилителя переменного тока рассчитан таким образом, чтобы дрейф нулевого уровня выходного усилителя, приведенный ко входу всего усилителя, был значительно меньше дрейфа нулевого уровня, определяемого модулятором. Для расчета коэффициентов передачи усилителей МДМ и выходного задается необходимая величина петлевого усиления K_p (глубина обратной связи), исходя из значения погрешности коэффициента передачи усилителя γ . При $\gamma = 2\%$ принято $K_p = 100$ для модификации усилителя с входным сигналом 10 мкВ.

При выходном сигнале усилителя I В коэффициент передачи усилителя с обратной связью равен 10^5 , при этом коэффициент передачи предварительного усилителя МДМ равен $2 \cdot 10^3$, выходного усилителя $- 5 \cdot 10^3$.

Выходной усилитель выполнен на интегральной микросхеме МАА725 с интегрирующей емкостью в цепи обратной связи, значение которой определяет время установления всего усилителя и уровень шумов на выходе.

Мостовой демодулятор выполнен на микросхеме 190КТ2. Управление оптронами и ключами демодулятора осуществляется с помощью генератора прямоугольных импульсов на транзисторной сборке К1НТ981Б. Частота следования управляемых импульсов 250 Гц.

Переход к модификациям усилителя с более высоким уровнем входного сигнала и с меньшей погрешностью коэффициента передачи осуществляется путем увеличения глубины общей обратной связи. При этом изменяют коэффициент деления делителя обратной связи, выполненного на прецизионных манганиновых резисторах. Погрешность коэффициента передачи усилителя с пределами входных сигналов I и 10 мВ не превышает 0,05%. В усилителях с входом по току общая обратная связь осуществляется с помощью токозадающего резистора 10 кОм.

Усилитель имеет цепь смещения нуля, выполненную на потенциометре, и питается от источника стабилизированного напряжения плюс и минус 12 В и минус 9 В.

Конструктивно усилитель выполнен в виде модуля со штырковыми контактами, предназначенными для впаяивания в

печатную плату.

УДК 621

Основные технические данные усилителя Ф7200

Параметры	Модификации усилителя Ф7200											
	1	2	3	4	5	6	7	8				
Номинальное значение входной величины	10 мВ	100 мВ	1 мВ	10 мВ	1 нА	10 нА	100 нА	1 мкА				
Основная погрешность, %	2	0,5	0,05	0,05	2	0,5	0,5	0,5				
Входное сопротивление	10 Мом				100 Ом							
Сопротивление источника сигнала	<100 кОм				>100 кОм							
Входной ток	10 пА											
Номинальное значение выходной величины, сопротивление нагрузки	1 В, 1 кОм											
Дрейф смещения нулевого уровня	0,5 мВ/8 ч 0,05 мВ/°C при $R_{ист} = 10$ кОм				0,05 нА/8 ч 0,01 нА/°C							
Время установления, с	10	1	10	1								
Амплитуда напряжения пульсаций, мВ	5	2	5	2								
Габариты, масса	103x68x29 мм, 0,25 кг											

Усилитель Ф7200 прошел Государственные приемочные испытания в 1978 г., первая промышленная партия усилителей выпущена в 1979 г. на ВЗЭПе, г. Витебск.